

**ИССЛЕДОВАНИЕ КЛАССИЧЕСКОГО СМЕСИТЕЛЯ  
МИЛЛИМЕТРОВОГО ДИАПАЗОНА ВОЛН  
НА СВИНЦОВЫХ ПЕРЕХОДАХ СИС**

A. B. Поладич, Л. П. Стрижко

Исследования последних лет (см. обзор [1]) показали, что в малошумящей приемной аппаратуре миллиметрового диапазона из двух типов нелинейности туннельных переходов сверхпроводник—изолитор—сверхпроводник (СИС) может быть использована лишь квазичастичная нелинейность, для которой в отличие от нелинейности, связанной с генерацией колебаний, шумы малы и ограничены квантовым пределом, ранее достижимым лишь в мазерах. Использование этой нелинейности возможно в двух режимах — классическом и квантовом. Квантовый режим исследован в ряде смесителей [1], в то же время для расширения области использования смесителей на переходах СИС важны исследования и классического режима.

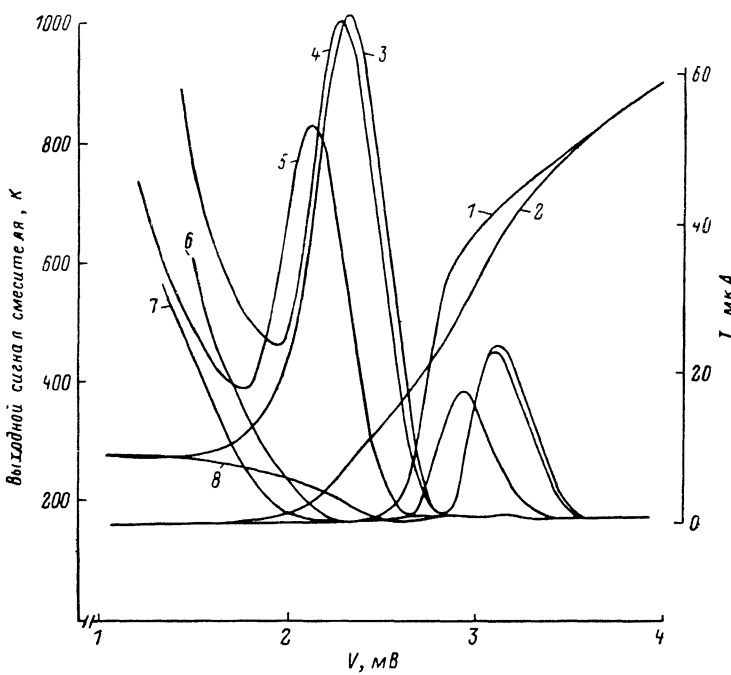


Рис. 1. ВАХ перехода СИС при  $1.8 \text{ K}$ ,  $S=6 \text{ мкм}^2$ ,  $R_N=43 \text{ Ом}$ .

1 — в отсутствие СВЧ излучения; 2 — при оптимальной мощности гетеродина; 3—8 — сигнал на выходе ПЧ: температура шумового сигнала на входе смесителя 2500 (3—5) и 75 K (6—8); 3, 8 — переход в магнитном поле; 5, 7 — при 4.2 K; 3, 4, 6, 8 — при 1.8 K.

Целью настоящей работы явилось исследование классического режима смешения, параметров практического смесителя на основе свинцовых переходов СИС и приемника в целом.

Необходимость создания практического устройства, в котором согласование с СВЧ и ПЧ трактами накладывает ограничения на нормальное сопротивление  $R_N$  и емкость перехода, определила выбор свинца как материала электродов перехода. На практике приемлемы величины  $R_N=20\ldots200 \text{ Ом}$  и  $C=(4\ldots10)/\omega R_N$ . Меньшие емкости затрудняют получение оптимального трехчастотного режима преобразования, а большие могут быть скомпенсированы лишь в высокодобротных цепях, создающих большое рассогласование с СВЧ трактом. При той же площади окисные свинцовые переходы в отличие от окисных ниобиевых, большая емкость которых часто остается нескомпенсированной [2], имеют значительно меньшую емкость, приемлемую в миллиметровом диапазоне даже при площади  $10 \text{ мкм}^2$ .

Переходы изготавливались напылением на слюду через маски, установленные на подложках и позволяющие получать площадь перехода до  $1\text{--}2 \text{ мкм}^2$ . Туннельный барьер создавался окислением на воздухе, произведение  $R_N S$  составляло обычно  $250\text{--}500 \text{ Ом}\cdot\text{мкм}^2$ .

емкость определялась по известной величине  $C_0 = 0.04 \text{ пФ} \cdot \text{мкм}^2$  [3],  $\omega C R_{\text{v}}$  составляло  $2 - 5$ . Смесительная камера представляла собой состыкованные волноводные секции сечения  $7.2 \times 0.3 \text{ мм}$ , соединенные экспоненциальными компенсированными переходами со входным трактом и секцией нормальной высоты с перемещающимся в ней бесконтактным поршнем. Измеренный в диапазоне  $30 - 39 \text{ ГГц}$  КСВН сборки (без образца и с нагрузкой вместо поршня) составлял  $1.1 - 1.3$ , поршень имел КСВН  $> 37$ . Переход СИС размещался между фланцами секций сечения  $7.3 \times 0.3 \text{ мм}$ , контактируя одним электродом на корпус. Вывод сигнала ПЧ и смещение по постоянному току осуществлялись по четвертьволновому ФНЧ, образованному вторым электродом и фланцами с фрезерованными канавками. Входной СВЧ тракт имел затухание  $1.5 \text{ дБ}$ , определявшееся в основном нейзильберовым волноводом, и содержал охлаждаемый поглотитель с затуханием  $6 \text{ дБ}$  на  $35 \text{ ГГц}$  (оценки потерь преобразования его затухание не включают). Сигнал гетеродина вводился через направленный ответвитель. Сигнал ПЧ по коаксиальной линии отводился наружу криостата к УПЧ с полосой  $300 - 650 \text{ МГц}$ . Температура шума тракта ПЧ вместе с УПЧ, усредненная по полосе усиления и приведенная к переходу СИС, измерялась методом двух температур ( $77$  и  $7.2 \text{ К}$ ) при подключенном переходе и составляла  $125 \text{ К}$ .

Смещение монохроматического (гетеродин) и шумового сигнала (газоразрядный генератор шума) исследовалось в диапазоне  $28 - 45 \text{ ГГц}$ , где реализовывался классический режим (рис. 1). Особенности квантового режима в ПЧ сигнале были слабо выражены и лишь в верхней части исследованного диапазона. Классический характер смещения объясняется малостью кванта излучения по сравнению с масштабом нелинейности ВАХ ( $\hbar\omega/e < V_o$ ; рис. 1). Кроме того, проявлению квантовых особенностей препятствует необходимость работы с относительно высоким уровнем ПЧ сигнала, сравнимым с величиной  $\hbar\omega/e$ . На более высоких частотах  $82 \text{ ГГц}$ , где проводились отдельные эксперименты, режим уже близок к квантовому — сигнал ПЧ периодичен по смещению.

Благодаря относительной малости рабочих частот максимум сигнала ПЧ наблюдался при смещениях, превышающих напряжение срыва  $V_{\min}$  в режиме паразитных колебаний с джозефсоновой частотой, являющихся причиной избыточного шума. Это обычно позволяло работать без подавляющего такие шумы внешнего магнитного поля.

Определение уровня шумового сигнала ПЧ производилось как по измеренной  $T_{\text{ш}}$  тракта ПЧ, приведенной к выходу смесителя, так и по известной величине дробовых шумов перехода [4, 5]. Минимальные потери преобразования, определенные как отношение температуры шумового сигнала на СВЧ входе и ПЧ выходе смесителя, составили  $4.8 \text{ дБ}$  на  $30 \text{ ГГц}$  для перехода с  $R_y = 62 \text{ Ом}$ ,  $S = 6 \text{ мкм}^2$ , при  $1.8 \text{ К}$  в режиме с двумя боковыми полосами. В этот результат входят и потери на рассогласование по СВЧ, связанное как с емкостью перехода СИС, так с индуктивностью его пленочных электродов, определивших совместно высокую добротность СВЧ цепи. Классический режим смещения и величина потерь преобразования позволяли надеяться на то, что уровень насыщения смесителя будет достаточно большим. Действительно, линейность смесителя сохранялась до уровня шумового сигнала на входе смесителя  $2500 \text{ К}$ ; при максимальном использованном нами сигнале  $8000 \text{ К}$  отклонение от линейности не превышало  $1 \text{ дБ}$ .

Рабочий диапазон частот смесителя и приемника определялся в основном полосой работы ФНЧ (рис. 2). Изменяя размеры ФНЧ, мы могли сдвигать рабочий диапазон при сохранении его ширины в пределах  $5 - 8 \text{ ГГц}$ . При перестройке перемещением поршня в пределах этого диапазона результирующая реактивность перехода СИС компенсировалась реактивностью поршня, а квазичастичная СВЧ проводимость перехода была меньше приведенной к ней проводимости источника СВЧ сигнала. Температура шума смесителя  $T_M = (L-1)T_{\text{SIS}}$ , приведенная к СВЧ входу, достигала  $20 \text{ К}$ , так как  $T_{\text{SIS}}$ , определяемая [5] дробовым шумом,

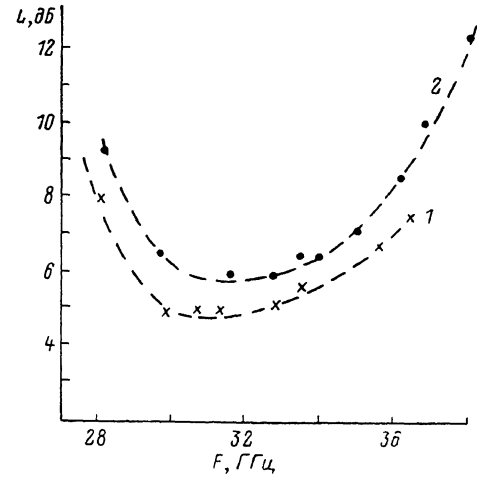


Рис. 2. Частотная зависимость потерь преобразования на переходе  $S = 6 \text{ мкм}^2$ ,  $R_N = 62 \text{ Ом}$  при температурах  $1.8$  (1) и  $4.2 \text{ К}$  (2).

составляла  $\approx 10$  К, но минимальная  $T_{\text{ш}}$  приемника из-за относительно высокой  $T_{\text{ш}}$  УПЧ по входу смесителя составляла уже 400 К, а по фланцу снаружи криостата 570 К.

Таким образом, в 8-мм диапазоне на окисных свинцовых переходах СИС реализован классический режим смешения. Созданный практический смеситель имеет в классическом режиме достаточно высокие параметры, которые в приемнике с малошумящим УПЧ ( $T_{\text{ш}} = 10 \div 15$  К) могут обеспечить низкую шумовую температуру устройства в целом. Использованные в смесителе переходы СИС по своим параметрам могут быть применены и в коротковолновой части миллиметрового диапазона уже в квантовом режиме.

Авторы благодарны С. А. Песковацкому за поддержку работы, А. М. Королеву за предоставление УПЧ.

### Литература

- [1] Tucker J. R., Feldman M. J. Rev. Mod. Phys., 1985, v. 57, N 4, p. 1055—1113.
- [2] Губанков В. Н., Константинян К. И., Кошелец В. П., Овсянников Г. А. Письма в ЖТФ, 1982, т. 8, № 24, с. 1498—1501.
- [3] Megerlein J. H. IEEE Trans. Magn., 1981, т. 17, № 1, p. 286—289.
- [4] Van der Ziel A. IEEE J. Quant. Electr., 1983, v. 19, N 5, p. 799.
- [5] Woody D. P., Miller R. E., Wengler M. J. IEEE Trans. MTT, 1985, v. 33, N 2, p. 90—95.

Радиоастрономический институт  
АН УССР  
Харьков

Поступило в Редакцию  
9 июня 1987 г.

УДК 538.221

Журнал технической физики, т. 58, в. 8, 1988

## ДИНАМИКА ВЕРТИКАЛЬНОЙ БЛОХОВСКОЙ ЛИНИИ ВБЛИЗИ ИЗГИБНОЙ НЕУСТОЙЧИВОСТИ ДОМЕННОЙ ГРАНИЦЫ

A. Ф. Попков

Динамика блоховских линий играет ключевую роль в устройстве магнитной памяти параллельно-последовательного типа со сверхбольшой плотностью записи информации [1]. Теоретические вопросы динамики собственно вертикальных блоховских линий достаточно интенсивно обсуждались в последнее время в литературе (см., например, [2—4]), но без учета нелокальных полей размагничивания. Некоторые вопросы влияния дальнодействующих полей рассеяния, возникающих при изгибах доменной границы, на динамику стенки и блоховской линии рассмотрены в [5, 6].

В магнитоодносной пленке с большой перпендикулярной анизотропией дальнодействующие магнитостатические поля, как известно [7, 8], приводят к изгибной неустойчивости плоской доменной границы при малой величине градиента магнитного поля  $H'$ , стабилизирующего ее положение. Очевидно, что тенденция к изгибной неустойчивости снижает «жесткость» стенки, благодаря чему возрастает масса движущейся в ней блоховской линии [5], что согласуется с общими представлениями о линейной динамике блоховских линий [9].

В настоящей работе обращается внимание на возрастание роли нелинейных эффектов в динамике блоховской линии при приближении к точке потери устойчивости стенкой плоского состояния.

Рассмотрим достаточно тонкую магнитную пленку с большой перпендикулярной анизотропией, когда эффектом «скрученностя» доменной границы можно пренебречь, а динамика спинов в стенке описывается уравнениями Слончевского [10]. Исходные уравнения с учетом дальнодействующих полей рассеяния, связанных с неоднородным отклонением доменной границы от равновесия, можно представить в виде

$$-\alpha\Psi_t + q_t = 0.5 \sin 2\Psi - \Psi_{xx} + h_x \sin \Psi, \quad (1)$$

$$\alpha q_t + \Psi_t = q_{xx} - b^2 q - \beta \int G(\eta) [q(x) - q(x + \eta)] d\eta, \quad (2)$$

где  $\Psi$  — угол выхода намагниченности из плоскости стенки;  $q$  — координата центра стенки, нормированная на ее толщину  $\Delta = (A/K)^{1/2}$ ;  $A$  — постоянная обмена;  $K$  — энергия односной